



蝎毒多肽提取物对 A549 细胞增殖抑制作用机制研究

王晓慧¹, 王兆朋¹, 张月英¹, 贾青¹, 王朝霞¹, 张捷², 张维东^{1*}

(1. 山东省医学科学院 基础医学研究所 病理室, 山东 济南 250062;
2. 山东省立医院 中心实验室, 山东 济南 250001)

[摘要] 目的: 观察蝎毒多肽提取物(PESV)对非小细胞肺癌细胞株A549的增殖抑制作用及可能的作用机制。方法: 采用噻唑蓝(MTT)法观察不同浓度PESV对A549细胞生长与增殖的影响, 下游实验将对数生长期的A549细胞分为阴性对照组、PESV低、中、高剂量组, 应用流式细胞术、免疫细胞化学法、Western blot法检测PESV干预后细胞周期及VEGF、HIF-1 α 和PTEN蛋白表达的变化。结果: MTT结果显示, PESV在一定浓度范围内对A549细胞的增殖活性有明显抑制作用($P < 0.01$)。流式细胞法、免疫细胞化学法及Western blot法结果显示, PESV干预后能使A549细胞阻滞于G₀/G₁期, 并显著下调HIF-1 α 、VEGF表达, 上调PTEN表达。结论: PESV能够抑制A549细胞的增殖, 其作用机制可能与影响血管生成因子VEGF、HIF-1 α 和PTEN的表达而直接抑制细胞增殖、阻滞细胞周期和抑制血管生成有关。

[关键词] 蝎毒多肽提取物; 非小细胞肺癌; 血管生成因子; 细胞周期; 细胞增殖

肺癌死亡率自20世纪70年代至90年代上升幅度达111.85%, 为所有恶性肿瘤中最高。其中非小细胞肺癌占肺癌总数的80%, 为最常见的肺癌病理类型^[1], 目前临幊上常用中西医结合治疗非小细胞肺癌。近年来的研究已经证明, 蝎毒多肽提取物(PESV)对多种肿瘤细胞有直接抑制作用及抗肿瘤血管生成作用^[2-3], 但对于非小细胞肺癌细胞生长与增殖的影响尚未见文献报道, 本文检测PESV干预后A549细胞增殖、细胞周期和血管生成信号通路中VEGF、HIF-1 α 和PTEN蛋白表达的变化, 研究PESV抑制非小细胞肺癌细胞增殖的作用及机制。

1 材料

1.1 药物与细胞的培养 取蝎毒冻干粉溶解(pH 7.4), 离心, 0.45 μm微孔滤膜过滤, 将超滤物冻干。蝎毒冻干粉400 mg加磷酸缓冲液上样后经葡萄糖凝胶, 收集蝎毒Ⅲ~Ⅳ蛋白峰, 再进行阳离子交换色

谱, 最后经紫外分光光度仪(吸收波长280 nm)检测, 收集PESV的蛋白峰。HPLC图显示PESV有4个峰, 主峰占总面积的41.4%。PESV为含有50~60个氨基酸的多糖混合物, 纯度约为89.1%, 相对分子质量6 000~7 000, pH稳定^[2]。PESV用RPMI-1640完全培养基溶解稀释。人肺腺癌A549细胞株购自中国医学科学院, 培养在含10%FBS的RPMI-1640培养液中, 培养条件为37 °C, 5%CO₂饱和湿度的培养箱。

1.2 试剂与仪器 MTT、DMSO为Sigma公司产品; RPMI-1640, 新生小牛血清和胰酶购于美国Gibco公司。VEGF和HIF-1 α 多克隆抗体购于北京博奥森生物技术有限公司, PTEN单克隆抗体和BCA蛋白浓度测定试剂盒购自碧云天生物技术有限公司, 山羊抗兔IgG/辣根酶标记二抗, DAB和SABC试剂盒购于北京中杉金桥生物技术有限公司。美国Specltramax酶标仪, 德国Leica倒置显微镜, 德国LeicaDM4000B光学显微镜, 德国LeicaDM公司QwinV₃图像分析软件, 日本Image Reader LAS-4000凝胶成像仪, Multi gauge V3.2图像分析软件。

2 方法

2.1 MTT法检测不同药物浓度对A549细胞增殖的抑制情况 取对数生长期细胞制成细胞悬液 1×10^5 个/mL, 接种于96孔板中, 每孔加细胞 1×10^4

[稿件编号] 20110914008

[基金项目] 国家自然科学基金项目(81073102, 30873408); 山东省自然科学基金项目(ZR2010HQ003, 2009ZRC03044); 济南市科学技术发展计划(201004012)

[通信作者] *张维东, 研究员, Tel: (0531) 82919939, E-mail: zhangweidongkui@163.com

[作者简介] 王晓慧, 硕士研究生, E-mail: xiaohui_12345777@sina.com



个。实验分阴性对照组(培养液和单细胞悬液)和实验组(培养液、单细胞悬液和PESV),PESV质量浓度为 $6.25, 12.5, 25, 50, 100, 150, 200 \text{ mg} \cdot \text{L}^{-1}$,每组设6个复孔。细胞接种24 h后,实验组加入不同浓度的PESV,阴性对照组细胞加入相同体积的培养液。继续培养48 h后,加入 $5 \text{ g} \cdot \text{L}^{-1}$ 的MTT $20 \mu\text{L}$,继续培养4 h后弃上清,每孔加入 $150 \mu\text{L}$ DMSO溶解液,并在振荡器上振荡5 min,待结晶物质充分溶解后,用酶标仪于 570 nm 波长下读取吸光度A,将空白孔调零,细胞生长抑制率 $= (A_{\text{对照组}} - A_{\text{实验组}}) / A_{\text{对照组}} \times 100\%$ 。

2.2 流式细胞法检测PESV对A549细胞周期的影响 根据MTT实验结果,选取 IC_{50} 下游的3个实验浓度。实验分阴性对照组,PESV低、中、高剂量组($50, 75, 100 \text{ mg} \cdot \text{L}^{-1}$)。细胞经过不同药物浓度处理48 h后,消化离心收集细胞,PBS液清洗,收集细胞后微型振荡器打散细胞,加入 $600 \mu\text{L}$ PI染液, 4°C 避光染色30 min,400目尼龙网过滤后用480 nm波长光束分析细胞DNA总量,每组至少分析 1×10^5 个细胞。

2.3 免疫细胞化学法检测VEGF,HIF-1 α 及PTEN蛋白水平 实验分组同2.2项。染色过程按照SABC试剂盒说明书操作。

2.4 Western blotting检测 将收集的肺癌细胞株提取总蛋白,BCA蛋白浓度测定试剂盒进行蛋白定量。每个加样孔上样量为 $60 \mu\text{g}$,SDS-聚丙烯酰胺凝胶电泳分离蛋白后转移到PVDF薄膜上,经5%脱脂奶粉进行抗原封闭,加入一抗 4°C 过夜,HIF-1 α 和VEGF按 $1:500$ 稀释,PTEN按 $1:1000$ 稀释。TBST洗膜后,加入相应的二抗,化学发光剂ECL显影。

2.5 统计学处理 采用SPSS 17.0软件进行数据处理。所有计量数据均以 $\bar{x} \pm s$ 表示。数据采用单因素方差分析两两比较法(SNK法)以及Pearson相关性分析方法分析, $P < 0.05$ 为差异有统计学意义。

3 结果

3.1 细胞形态学观察 A549细胞株是常用的人肺癌细胞株,未给药组细胞贴壁生长,增殖较快,镜下细胞形态呈多边形铺展状态,排列规整,细胞间隙明显。 $12.5 \text{ mg} \cdot \text{L}^{-1}$ 以上组细胞贴壁差,细胞变圆变小,且随剂量增大漂浮细胞亦增多,细胞生长缓慢。

3.2 MTT试验 与阴性对照组相比,PESV以

$6.25 \sim 12.5 \text{ mg} \cdot \text{L}^{-1}$ 作用于A549细胞48 h后,抑制增殖作用不明显。但当PESV升到 $25 \sim 200 \text{ mg} \cdot \text{L}^{-1}$ 时,抑制增殖作用明显增强(图1, $P < 0.01$)。 $25 \sim 200 \text{ mg} \cdot \text{L}^{-1}$ 剂量组之间两两比较差异显著($P < 0.01$),总体呈剂量-效应关系, $r = 0.966$ 。

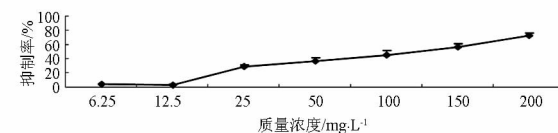


图1 PESV对A549细胞的增殖抑制作用

Fig. 1 Inhibit effect of PESV on proliferation of A549 cell lines

3.3 PESV对A549细胞周期的影响 不同浓度PESV作用A549细胞48 h后,随PESV浓度的升高, G_0/G_1 期细胞所占比例由对照组的($45.80 \pm 1.05\%$)逐渐增高至($68.30 \pm 0.53\%$),S期及 G_2/M 期细胞所占比例数也发生了明显变化(表1),各浓度组与对照组相比有显著性差异($P < 0.01$ 或 $P < 0.05$),各浓度组间比较差异显著($P < 0.01$ 或 $P < 0.05$)。提示PESV能使细胞周期阻滞于 G_0/G_1 期,减少S期及 G_2/M 期的细胞比例,且对细胞周期的影响具有剂量依赖性。

表1 不同浓度的PESV作用A549细胞株48 h后细胞周期的改变($\bar{x} \pm s, n=6$)

Table 1 The change of cell cycle in A549 cell lines after PESV interferent 48 h at different concentrations($\bar{x} \pm s, n=6$)

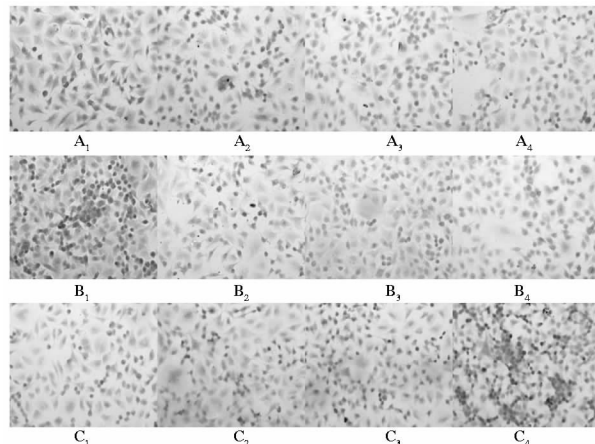
组别	G_0/G_1	S	G_2/M
对照	45.80 ± 1.05	36.30 ± 1.13	17.90 ± 2.10
低剂量	$51.57 \pm 0.93^2)$	$34.43 \pm 0.47^1)$	$13.90 \pm 0.46^2)$
中剂量	$60.97 \pm 0.61^2)$	$28.03 \pm 1.45^2)$	$10.90 \pm 0.87^2)$
高剂量	$68.30 \pm 0.53^2)$	$23.20 \pm 0.26^2)$	$8.50 \pm 0.26^2)$

注:与对照组比较¹⁾ $P < 0.05$,²⁾ $P < 0.01$ 。

3.4 免疫细胞化学法检测PESV对VEGF,HIF-1 α 和PTEN表达的影响 经PESV作用后,VEGF阳性细胞表达百分比由($54.63 \pm 2.78\%$)下降为($39.33 \pm 1.55\%$),灰度值由(96.83 ± 5.73)上调至(155.95 ± 7.62);HIF-1 α 阳性细胞表达百分比由($45.53 \pm 2.21\%$)下降为($31.57 \pm 1.10\%$),灰度值由(102.87 ± 4.98)逐渐上调至(163.51 ± 5.97),各浓度组间比较差异显著($P < 0.05$ 或 $P < 0.01$),且



VEGF与HIF-1 α 表达呈正相关($r=0.912, P<0.01$)。PTEN蛋白表达水平由(22.37 ± 1.46)%上升至(31.93 ± 1.80)%，灰度值由(170.40 ± 9.06)下降至(109.32 ± 11.11)，各组间比较差异显著($P<0.05$ 或 $P<0.01$)。且PTEN的表达与VEGF和HIF-1 α 显著负相关($r=-0.916, P<0.01$; $r=-0.870, P<0.01$) (图2,3)。



1. 对照组;2. PESV 低剂量组;3. PESV 中剂量组;4. PESV 高剂量组 (图4同);A. VEGF;B. HIF-1 α ;C. PTEN。

图2 免疫细胞化学法示PESV干预后VEGF, HIF-1 α 和PTEN表达的变化

Fig. 2 Immunocytochemical method show the express change of VEGF, HIF-1 α and PTEN after PESV interference

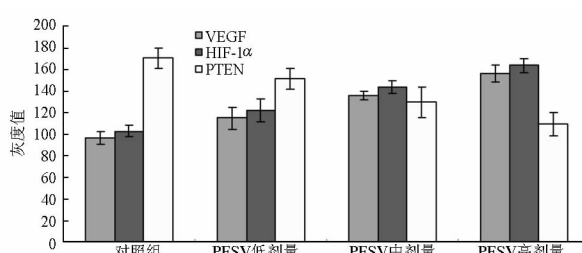


图3 PESV干预后VEGF, HIF-1 α 和PTEN表达的灰度值

Fig. 3 Grey analysis of VEGF, HIF-1 α and PTEN expression after PESV interference

3.5 Western blotting检测VEGF, HIF-1 α 和PTEN表达的变化 与对照组相比,经PESV不同浓度作用后,VEGF和HIF-1 α 的表达呈下降趋势,而PTEN的表达呈上升趋势,各浓度组间比较差异显著($P<0.05$ 或 $P<0.01$),验证了免疫细胞化学法的结果。PTEN的表达与VEGF和HIF-1 α 显著负相关($r=-0.947$,

$P<0.01$; $r=-0.973, P<0.01$) (图4)。

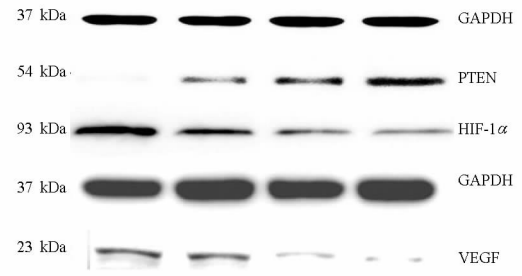


图4 Western blotting法结果示VEGF, HIF-1 α 和PTEN表达的变化

Fig. 4 Western blotting method show the express change of VEGF, HIF-1 α and PTEN

4 讨论

肿瘤细胞快速增长导致低氧微环境,低氧状态下肿瘤细胞内HIF-1 α 水平急剧增加^[4],对低氧应激反应产生的HIF-1 α 表达能够在转录水平调节VEGF的表达^[5]。VEGF是肿瘤及正常组织一个主要血管生成刺激因子,可刺激内皮细胞脱离临近血管向刺激处迁移、增殖,形成一个新的毛细血管网,血管生成后有利于肿瘤的转移^[6],它还可通过自分泌循环刺激肿瘤细胞增殖^[7],其高表达与肿瘤患者的生存时间、浸润、转移及预后有关。HIF-1 α 对VEGF的调节主要是通过增强VEGF的转录活性与增加VEGF mRNA的稳定性,它能够在基因水平上激活VEGF及其受体的表达,在血管生成中的作用比单独的VEGF作用更重要。HIF-1 α 与VEGF之间存在着正相关性,一个因子的表达会同时伴有另外因子的高表达,它们的共表达随着肿瘤临床分期越晚,其共表达率越高。Giato-manolaki等^[8]研究证实,HIF-1 α 和VEGF在多发性骨髓瘤中的表达明显升高并相互影响。Hanze等^[9]报道,利用RNA干扰技术沉默肺癌A549细胞HIF-1 α 基因可使VEGF mRNA的表达明显减少。本实验研究结果也表明了PESV干预后A549细胞HIF-1 α 和VEGF的表达同步减少且呈正相关。

PTEN是一个肿瘤抑制基因,可以通过抑制细胞周期、抑制肿瘤细胞侵袭和转移、抑制肿瘤血管形成等途径发挥其抑癌作用。它可阻断内皮细胞VEGF mRNA的表达^[10],还可通过抑制PI3K/Akt途径,抑制细胞生长和增殖,并下调前列腺癌细胞和组织中HIF-1 α 的表达^[11]。本研究结果也表明PTEN



与VEGF和HIF-1 α 的表达呈负相关。PTEN抑制细胞周期的作用表现为诱导细胞G₁期阻滞和凋亡,抑制细胞生长和增殖。其阻滞细胞周期是通过抑制PI3K/Akt途径特异性诱导p21,p27,p57 3个CDK抑制蛋白实现的^[12]。各类细胞因子调控细胞增殖、细胞周期和血管生成的作用互相影响,相互交错,又极为复杂,PESV调控血管生成因子对A549细胞增殖抑制的作用机制仍需进一步研究。

综上所述,PESV能通过调控血管生成因子VEGF,HIF-1 α 和PTEN的表达,实现阻滞细胞周期、抑制血管生成而达到对肿瘤细胞的增殖抑制作用,而抑制VEGF的表达也直接抑制了肿瘤细胞的增殖,这可能是PESV抗肿瘤细胞增殖的作用机制。以上结果提示,PESV中含有抑制肿瘤细胞增殖活性分子和抗血管生成因子。

【参考文献】

- [1] Abidoye O, Ferguson M K, Salgia R. Lung carcinoma in African Americans[J]. Nat Clin Pract Oncol, 2007, 4(2):118.
- [2] 张维东,崔亚洲,姚成芳,等.蝎毒多肽提取物抗肿瘤血管生成作用的实验研究[J].中国药理学通报,2005,21(6):708.
- [3] 张维东,崔亚洲,贾青,等.蝎毒多肽提取物对小鼠S180肉瘤和H22肝癌血管生成抑制作用的实验研究[J].山东中医药大学学报,2005,29(2):152.
- [4] Semenza G L. O₂-regulated gene expression:transcriptional control of cardiorespiratory physiology by HIF-1[J]. J Appl Physiol,
- [5] Bian C X, Shi Z, Meng Q, et al. P70S6K 1 regulation of angiogenesis through VEGF and HIF-1alpha expression [J]. Biochem Biophys Res Commu, 2010, 398(3):395.
- [6] Benest A V, Augustin A G. Cancer: blood vessels kept quiet [J]. Nature, 2009, 485(7234):41.
- [7] Al-Dissi A N, Haines D M, Singh B, et al. Immunohistochemical expression of vascular endothelial growth factor and vascular endothelial growth factor receptor-2 in canine simple mammary gland adenocarcinomas[J]. Can Vet J, 2010, 51(10):1109.
- [8] Giatromanolaki A, Bai M, Margaritis D, et al. Hypoxia and activated VEGF/receptor pathway in multiple myeloma [J]. Anti-cancer Res, 2010, 30(7):2831.
- [9] Hanze J, Enl B G, Savai R, et al. RNA interference for HIF-1 alpha inhibits its downstreamsignaling and affects cellular proliferation[J]. Biochem Biophys Res Common, 2003, 312(3):571.
- [10] Li Y M, Zhou B P, Deng J, et al. A hypoxia-independent hypoxia-inducible factor-1 activation pathway induced by phosphatidylinositol-3 kinase/Akt in HER2 overexpressing cells [J]. Cancer Res, 2005(8):3257.
- [11] Fang J, Ding M, Yang L, et al. PI3K/PTEN/AKT signalurg regulates prostate honor angiogenesis[J]. Cell Signal, 2007, 19(12):2487.
- [12] Yamada K M, Araki M. Tumor suppressor PTEN, modulator of cell signaling, growth, migration and apoptosis [J]. Cell Sci, 2001, 114(13):2375.

Mechanisms for inhibition effects of polypeptide extract from scorpion venom (PESV) on proliferation of A549 cell lines *in vitro*

WANG Xiaohui¹, WANG Zhaopeng¹, ZHANG Yueying¹, JIA Qing¹, WANG Zhaoxia¹, ZHANG Jie², ZHANG Weidong^{1*}

(1. Department of Pathology, Institute of Basic Medicine, Shandong Academy of Medical Science, Ji'nan 250062, China;

2. Department of Central Laboratory, Shandong Provincial Hospital, Ji'nan 250001, China)

[Abstract] **Objective:** To investigate the mechanisms for inhibition effects of PESV on proliferation of non-small cell lung cancer cell line A549. **Method:** MTT was used to observe cell growth and proliferation of A549 at different concentrations of PESV. Flow cytometry (FCM) was applied to analyze cell cycle distribution. Immunocytochemistry and western blot assay was recruited to detect the expression of VEGF, HIF-1 α , PTEN after the intervention of PESV. **Result:** A549 cells may be arrested mainly in G₀/G₁ phase and cell proliferation was significantly inhibited ($P < 0.01$) after PESV intervention in a certain range of concentration. PESV can significantly reduce the expression of HIF-1 α , VEGF and increase the expression of PTEN. **Conclusion:** PESV can block cell cycle and inhibit angiogenesis directly to inhibit cell proliferation of non-small cell lung cancer cell line A549 mainly through reducing the expression of HIF-1 α , VEGF and increasing the expression of PTEN.

[Key words] PESV; non-small cell lung cancer; angiogenesis factor; cell cycle; cell proliferation

doi:10.4268/cjcm20121124

〔责任编辑 张宁宁〕

• 1623 •